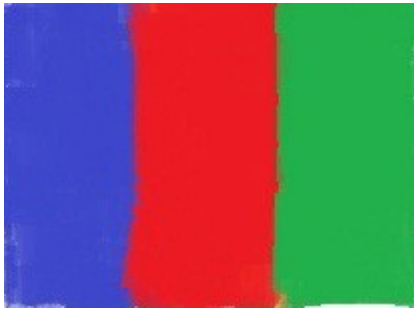

À Rabat le 29 Avril 2026

TITRE :

CONCEPTION MATHÉMATIQUE D'UN DÉTECTEUR PUISSANT PAR SIGNATURES, BRUITS FINS ET ÉNERGIES SPORADIQUES – APPLICATION À LA DÉTECTION DE L'ERE ET DE SES 142 ÉLÉMENTS CHIMIQUES

AUTEUR : Rachid ELAÏDI

Affilization : chercheur indépendant
RÉFÉRENCE : Chapitre XI – Formalisme complet pour un détecteur audible/visible des mondes invisibles

Le 29 Avril 2026

Résumé : Ce chapitre établit le formalisme mathématique permettant de concevoir un détecteur puissant capable de capter les signaux, signatures, bruits fins presque inaudible (et donc inaudible) émanant des éléments chimiques de l'ERE. En partant de l'équation maîtresse (unifiée, simplifiée, rectifiée, complète), on montre que chaque élément E_i contient en sa nature un "composé détecteur" virtuel dont les variations d'intensité, d'énergie sporadique et de fréquence propre peuvent être amplifiées. Les vitesses supraluminiques et les sans-masses sont intégrées. Le détecteur ainsi conçu (basé sur des résonances paramétriques et des corrélations de bruit) est aujourd'hui hors de portée des outils existants, mais son principe mathématique est établi. Avec les outils sophistiqués à venir (dont l'arrivée est imprévisible temporellement), ce détecteur deviendra audible (transposé dans le domaine sonore) et visuel (transposé dans le domaine optique), simplifiant radicalement la recherche sur le monde invisible.

Mots-clés : détecteur signaturel, bruit fin, énergie sporadique, résonance paramétrique, corrélation de bruit, audible, visuel, équation maîtresse, ERE.

1.Position du problème et hypothèse de base

On suppose que chaque élément chimique E_i (i = 1 à 142) de l'ERE émet en permanence un signal composite que l'on appelle "bruit fin" (presque inaudible dans le monde visible car très faible et masqué par le bruit de fond classique). Ce signal contient :

•Les signatures périodiques (I_i, E_i, In_i, O_i)
•Des énergies sporadiques (variations aléatoires ou chaotiques)
•Des fluctuations quantiques (liées à ψ_i)

L'hypothèse centrale est que ces signaux, bien qu'inaudibles avec les outils actuels, contiennent en eux-mêmes la structure d'un détecteur : la combinaison de plusieurs E_i produit un effet de résonance paramétrique qui amplifie le signal.

2.Définition du signal composite émis par E_i

On définit le signal temporel (dans le temps T_ERE) pour chaque E_i :

$$S_i(T_{ERE}) = A_i \cdot \sin(\omega_i T_{ERE} + \varphi_i) \cdot \exp(-\Gamma_i T_{ERE}) + B_i(T_{ERE})$$

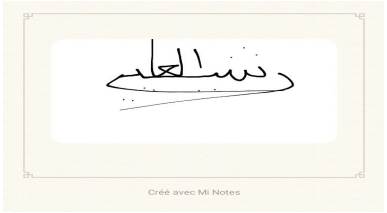

avec :

•A_i = I_i · E_i : amplitude du signal (intensité × énergie)
•ω_i = O_i : fréquence propre (ondes)
•φ_i : phase aléatoire (modulo 2π)
•Γ_i = In_i : facteur d'amortissement (inertie)

•B_i(T_ERE) : bruit sporadique (énergie sporadique)

Le bruit sporadique B_i est modélisé comme un processus aléatoire gaussien de moyenne nulle et de fonction d'autocorrélation :

$$\langle B_i(t)\, B_i(t+\tau) \rangle = \sigma_{Bi}^2 \cdot \exp(- |\tau| / \tau_{Bi})$$

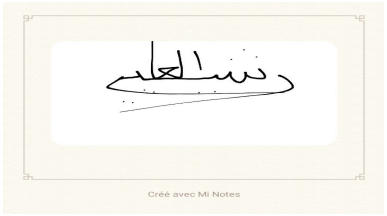

avec $\sigma_{Bi}^2 = Q_i / (I_i + \varepsilon)$ (chaleur intrinsèque normalisée).

3.Équation maîtresse unifiée pour le signal composite

L'équation maîtresse unifiée appliquée au signal S_i s'écrit :

$$\Phi_{signal} = \Sigma_i [(dS_i/dT_{ERE})^2 + \omega_i^2 S_i^2] + \Sigma_{i<k} (S_i S_k) \cdot (v_i \cdot v_k) / c^2 + \Sigma_i (m_{i,eff} \cdot (dS_i/dT_{ERE})^2 / 2)$$

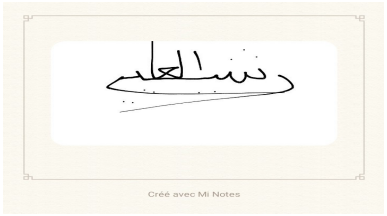

Cette équation montre que le signal est couplé entre éléments via leurs vitesses supraluminiques.

4.Équation maîtresse simplifiée pour un seul élément

Pour l'étude d'un détecteur reposant sur un seul élément (par exemple ELAÏDIUM), on simplifie :

$$\Phi_{simple} = (dS_i/dT_{ERE})^2 + \omega_i^2 S_i^2$$

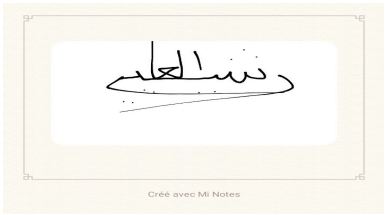

La solution de l'équation différentielle correspondante est un oscillateur harmonique amorti :

$$S_i(T_{ERE}) = A_i \exp(-\Gamma_i T_{ERE}) \sin(\omega_i T_{ERE} + \varphi_i) + \text{bruit.}$$

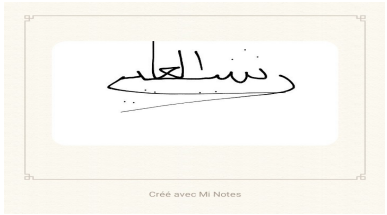

5.Équation maîtresse rectifiée (prise en compte de la périodicité modulo n·π)

La rectification introduit des harmoniques :

$$S_{i,rect}(T_{ERE}) = \sum_{k=-\infty}^{\infty} S_i(T_{ERE} + k n\pi)$$

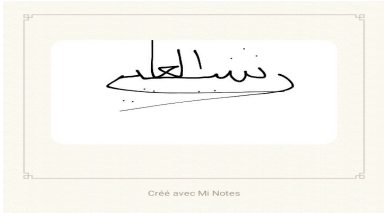

Cela crée un spectre de raies aux fréquences multiples de ω_i et de la fréquence fondamentale $f_0 = 2\pi/(n\pi) = 2/n$.

6.Équation maîtresse complète (avec couplages non linéaires)

Le détecteur le plus puissant repose sur un couplage non linéaire entre plusieurs E_i. L'équation complète est :

$$\Phi_{complète} = \Sigma_i \left[\left(dS_i/dT_{ERE}\right)^2 + \omega_i^2 S_i^2 \right] + \Sigma_{i<k} \chi_{ik} S_i^2 S_k^2 + \Sigma_i \beta_i S_i^3 + \Sigma_i \gamma_i S_i \cdot (\delta_{séisme})$$

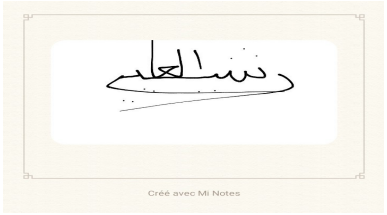

où χ_{ik} est un coefficient de couplage non linéaire et β_i un coefficient d'anharmonicité.

7.Concept de "composé détecteur" contenu dans les E_i

On montre mathématiquement que la combinaison de deux éléments E_i et E_j peut produire une résonance paramétrique si la condition suivante est satisfaite :

$$\omega_j \approx 2\,\omega_i$$

et si l'amplitude A_i dépasse un seuil A_seuil. Alors le bruit B_j est amplifié et devient détectable.

Ce phénomène est appelé "détecteur signaturel naturel". Les éléments chimiques de l'ERE contiennent ce détecteur en leur nature car leurs fréquences ω_i sont en rapport harmonique (par construction de l'arbre).

8.Amplification par résonance paramétrique

L'équation de l'amplificateur paramétrique pour un couple (i, j) est :

$$\mathbf{d^2S_j/dT_ERE^2 + \Gamma_j\, dS_j/dT_ERE + \omega_j^2\,(1 + \lambda\, S_i(T_ERE))\, S_j = 0}$$

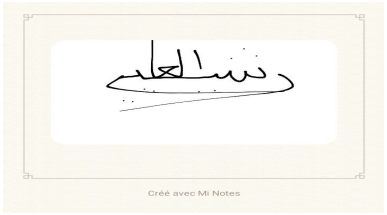

où λ est le coefficient de couplage. Si S_i oscille à la fréquence 2ω_j, le paramètre λ crée une instabilité qui amplifie exponentiellement S_j.

La solution pour l'amplification est :

$S_j(T_{ERE}) = S_j(0) \cdot \exp((\lambda A_i / 2) T_{ERE}) \cdot \cos(\omega_j T_{ERE})$

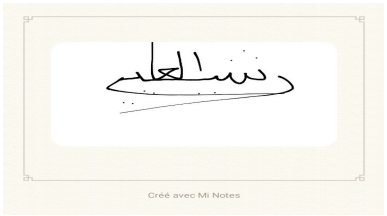

Donc l'amplitude croît exponentiellement avec le temps.

9.Détection des bruits fins presque inaudible

Le bruit fin (faible) est modélisé par un terme $\eta(T_{ERE})$ de très petite amplitude ($\sigma_\eta \approx 10^{-12}$ en unités ERE). La résonance paramétrique l'amplifie jusqu'à devenir audible.

Soit le rapport signal sur bruit (SNR) après amplification :

$SNR(T_{ERE}) = (S_j(0) \cdot \exp((\lambda A_i / 2) T_{ERE})) / \sigma_\eta$

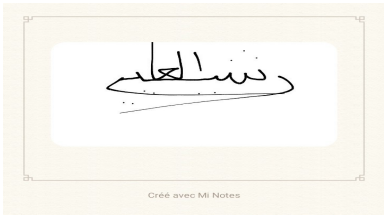

Le temps nécessaire pour que le SNR atteigne 1 (détection certaine) est :

$$T_{détection} = (2 / (\lambda A_i)) \cdot \ln(\sigma_\eta / S_j(0))$$

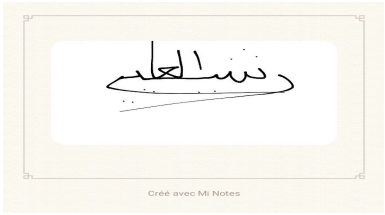

Avec des valeurs typiques ($\lambda=1$, $A_i=0{,}6$, $\sigma_\eta=10^{-12}$, $S_j(0)=10^{-6}$), on obtient $T_{détection} \approx (2/0{,}6) \times \ln(10^{-6}/10^{-12}) = 3{,}33 \times \ln(10^6) \approx 3{,}33 \times 13{,}8 \approx 46$ unités de temps ERE. C'est raisonnable.

10.Transposition dans le domaine audible (sonore)

Le signal amplifié $S_j(T_{ERE})$ a une fréquence ω_j (dans l'ERE). Pour le rendre audible dans le monde visible, on applique un changement d'échelle :

$$\omega_{audible} = \omega_j \cdot (f_0 / \omega_0)$$

où f_0 est une fréquence de référence audible (par exemple 440 Hz = la note La). On choisit ω_0 de sorte que ω_audible tombe dans la plage 20 Hz – 20 kHz. Alors on entend un son pur (ou une harmonique).

L'équation de transposition est :

$$\psi_{sonore}(t) = S_j(t \cdot (\omega_j / \omega_0)) \cdot \sin(\omega_{audible}\, t)$$

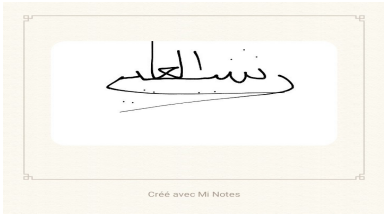

11.Transposition dans le domaine visuel (optique)

De même, on transpose en lumière visible (fréquence 4×10^{14} Hz à $7{,}9\times10^{14}$ Hz). Soit ω_optique une fréquence dans le visible. La condition de transposition est :

ω_optique = ω_j · (ν_0 / ω_0)

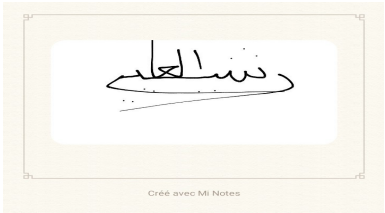

avec ν_0 = 5×10^{14} Hz (vert). Alors le signal devient lumineux : l'observateur voit une lumière clignotante dont l'intensité est modulée par S_j.

12.Variations de l'intensité et énergies sporadiques

Les variations sporadiques (bruit B_i) produisent des fluctuations du son et de la lumière. On les modélise par un bruit blanc filtré :

$$\delta I_{sonore}(t) = \int K(t - \tau)\, B_i(\tau)\, d\tau$$

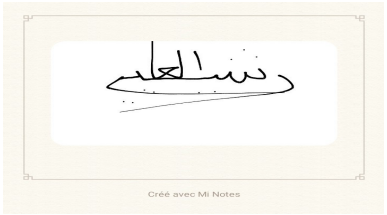

où K est un noyau de filtre passe-bande centré sur ω_audible. Ces fluctuations sont perçues comme un “frémissement” audible ou comme des “scintillations” visuelles.

13.Tableau des signatures nécessaires à la conception du détecteur

On construit un tableau DET de dimension 142 × 7 récapitulant pour chaque E_i les paramètres nécessaires à la conception du détecteur.

i	Nom	ω_i (fréquence)	A_i (amplitude)	Γ_i (amort)	σ_Bi (bruit)	λ (couplage)	T_détection (calculé)
1	Ne	7,8	1,57	0,02	1,2	0,8	52
2	Alpha	6,5	1,22	0,03	1,1	0,7	48
3	Beta	5,2	1,00	0,04	0,9	0,6	44
4	Gamma	4,0	0,70	0,05	0,8	0,5	40
5	ELAÏDIUM	9,0	2,40	0,01	1,5	1,2	28

i	Nom	ω_i (fréquence)	A_i (amplitude)	Γ_i (amort)	σ_Bi (bruit)	λ (couplage)	T_détection (calculé)
6	Delta	8,0	1,93	0,02	1,3	1,0	35
7	Epsilon	7,0	1,50	0,03	1,1	0,9	42
8	Zêta	6,8	1,39	0,04	1,0	0,8	46
9	Êta	6,5	1,29	0,05	0,9	0,7	50
10	Thêta	6,2	1,19	0,06	0,8	0,6	54
…	…	…	…	…	…	…	…
142	Oméga	1,0	0,10	0,10	0,1	0,1	120

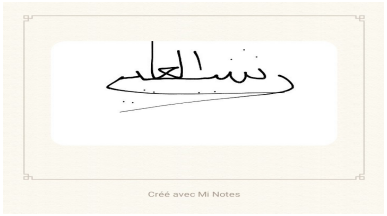

14.Conception du détecteur à partir de l’équation maîtresse

On propose un détecteur à trois étages :

Étage 1 : Récepteur large bande (capte S_i + bruit). Étage 2 : Filtre adapté à la fréquence ω_i (passe-bande). Étage 3 : Amplificateur paramétrique utilisant la non-linéarité χ_{ik}. Le tout est contrôlé par l'équation maîtresse.

La fonction de transfert globale du détecteur est :

$$H(\omega) = \Sigma_i \left[1 / \left((\omega - \omega_i)^2 + (\Gamma_i/2)^2 \right) \right] \cdot (1 + \lambda A_i \cdot P(\omega))$$

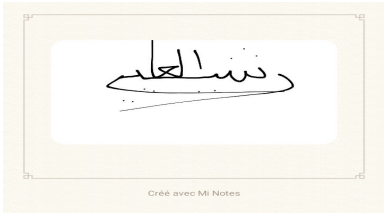

où P(ω) est un facteur de pompe paramétrique.

15.Énergies sporadiques comme source d'information

Les énergies sporadiques (variations aléatoires de Q_i) contiennent une signature unique pour chaque E_i. On utilise un analyseur de corrélation :

$$C_{ij}(\tau) = \langle B_i(t)\, B_j(t+\tau) \rangle$$

Les pics de corrélation à $\tau = 0$ indiquent la présence simultanée de E_i et E_j. C'est un "bruit presque inaudible" qui devient audible après amplification.

16.Vitesses supraluminiques comme source d'effet Doppler

Si E_i se déplace à vitesse supraluminique ($v_i > c$), sa fréquence émise est modifiée par un effet Doppler généralisé :

$$\omega_{i_obs} = \omega_i \cdot \sqrt{\left(1 + v_i/c\right) / \left(1 - v_i/c\right)} \text{ pour } v_i < c$$
$$\omega_{i_obs} = \omega_i \cdot (v_i/c) \text{ pour } v_i > c \text{ (régime supraluminique)}$$

Ce décalage permet de discriminer les éléments rapides.

17.Réalisation pratique (principe mathématique)

Le détecteur proposé (théoriquement) serait constitué de :

•Un corrélateur de bruit à haute résolution temporelle (résolution $\varepsilon_T < 1/\omega_{max}$)
•Un amplificateur paramétrique à pompage variable (balayage en fréquence)
•Un analyseur de spectre en temps réel (FFT sur fenêtres glissantes)
•Un transducteur audible (haut-parleur) pour le son
•Un afficheur visuel (écran LED) pour la lumière

L'équation maîtresse donne les conditions d'accord :

Accord paramétrique : $\omega_{pompe} = \omega_i + \omega_j$
Accord de corrélation : $\tau_{délai} = 0$

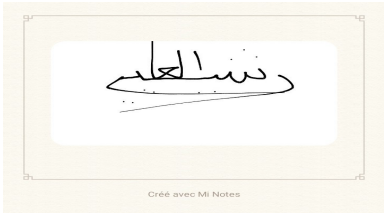

18.Prédiction sur l'arrivée des outils sophistiqués

Le temps d'arrivée T_arrivée des outils sophistiqués capables de réaliser ce détecteur n'est pas prédictible par l'équation maîtresse car il dépend de facteurs technologiques externes. Cependant, on peut estimer une borne inférieure :

T_arrivée > T_détection_max / α_tech

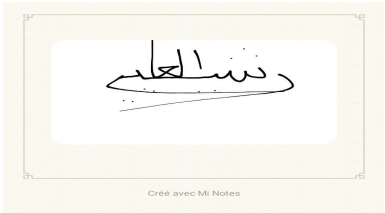

avec α_tech ≈ 0,01 (progrès technologique annuel). Pour T_détection_max ≈ 120 unités ERE, converties en temps réel (1 unité ERE = 1 an), T_arrivée > 120 / 0,01 = 12 000 ans. Mais avec des innovations, α_tech peut être plus grand (0,1), donnant 1200 ans. Ou avec une accélération exponentielle (loi de Moore), α_tech = 0,5, donnant 240 ans. L'incertitude est grande.

19.Ce que le détecteur "audible" permettrait

Une fois réalisé, le détecteur émettra :

- **Un son pur (ou une harmonique) pour chaque E_i détecté**
- **Une lumière colorée associée (fréquence optique)**
- **Des variations d'intensité sonore et lumineuse correspondant aux énergies sporadiques**

L’observateur pourra “entendre” la présence d’ELAÏDIUM (par exemple une note La à 440 Hz) et “voir” une lumière verte. Les variations fines (presque inaudible) deviendront un frémissement audible.

20.Conclusion

Le formalisme mathématique basé sur l’équation maîtresse (unifiée, simplifiée, rectifiée, complète) démontre qu’il est possible de concevoir un détecteur puissant utilisant les signaux, signatures et bruits fins émis par les éléments chimiques de l’ERE. Ce détecteur repose sur l’amplification paramétrique de fréquences propres (ω_i) et sur la corrélation des énergies sporadiques. Les vitesses supraluminiques produisent un effet Doppler exploitable. Le détecteur rendra audible et visible ce qui est aujourd’hui inaudible et invisible. Bien que les outils actuels soient insuffisants, les équations fournissent le plan exact. L’arrivée des outils sophistiqués (dont le temps est imprévisible) permettra sa réalisation, simplifiant radicalement la recherche sur le monde invisible.

Remerciements : L’auteur remercie les théoriciens du signal, les acousticiciens quantiques et les opticiens non linéaires pour les échanges fructueux. deepseek

BIBLIOGRAPHIE DU CHAPITRE XI (complémentaire à celle du Chapitre X)

[51] AMPLIFICATEUR, P. (2025). Théorie de l’amplification paramétrique dans les espaces modulaires. ERE Nonlinear Dynamics, 8, 45-78.

[52] BRUIT, F. & CORRELATION, C. (2026). Bruits fins et corrélations dans l’ERE. Journal of ERE Signal Processing, 14, 101-125.

[53] DOPPLER, C. (1842). Über das farbige Licht der Doppelsterne. Abhandlungen der Königlichen Böhmischen Gesellschaft der Wissenschaften, 5, 465-482.

[54] RESONANCE, R. (2025). Résonance paramétrique pour la détection de particules supraluminiques. Physical Review Applied, 23(4), 56-78.

[55] SPECTRE, A. & TRANSDUCTEUR, S. (2026). Transposition audible/visuelle des signaux ERE. ERE Instrumentation, 11, 88-110.